

II-12 貯水池の堆砂過程について

九州大学工学部 正員・精東一郎

大林組 正員 増田知行

九州大学大学院 学生員・宮武順造

砂礫を wash load として流送したもの貯水池で堆積させる場合を取り扱い、杉尾教授、山岡教授の実験結果を検討すると同時に新しく実験を補足して普遍的な式を求めて試みている。

貯水池の埋没過程においては河床の近傍を浮流状態で輸送される砂も、その漂流距離が小さいために堆砂に參與するものと考えなくてはならない。従ってこの河床近傍の漂流砂を層流掃流型流砂量式として有効掃流力、 $\phi_e$  が導入されてる式を用いる。

$$\begin{aligned} \Phi_e &= \frac{\rho_B}{\sqrt{S g d^3}} = 25 \cdot \frac{g^{1/3}}{S} (I_e - \frac{d}{g}) = 25 \cdot \frac{g^{2/3}}{S} I_e \\ \Phi_e &= I_e \cdot \frac{\rho}{\rho_0} = \frac{U_e^2}{S g d} \cdot \frac{\rho}{\rho_0} \quad \text{但し } I_e = \frac{V}{U_e} \\ &\quad \rho_e = 6.0 + 5.75 \frac{h}{d} \end{aligned} \quad \cdots (1)$$

尚多くの場合、 $I_e = 0.04$  は  $\Phi_e$  にくらべて無視される。 $\Phi_e$  を単位幅流量、 $g$  と水深、 $d$  と書き直すと、 $\Phi_e = \frac{g^2}{S g d} I_e g^2$  となる。ここで段丘肩水深は測定値より一定であることが知られ、従って(1)式が段丘肩にも適用出来ると仮定し、さらに  $\rho_e$  の微小な変化を無視すると、段丘肩水深が一定のときには段丘流砂量、 $q_{bf}$  も一定の値に保たれることになる。なお  $q_{bf}$  は段丘高さを  $z$ 、段丘前進速度を  $I_e$ 、壁斜率を  $\alpha$  とするヒエーナの関係式

$$q_{bf} = (1 - \alpha) I_e z \quad \cdots \cdots \cdots \cdots (2)$$

が近似的に成立するが、区及びの測定値よりも  $q_{bf}$  は埋没過程中一定であることが知られる。段丘流砂量、 $q_{bf}$  と総砂量、 $q_{B0}$  との割合、段丘前進速度、 $I_e$  などの無次元形を求めるに、杉尾教授は現象を規定する重要な要素として  $\frac{q_{bf}}{q_{B0}}$  をあげて実験式を作らざりるが、しかしこの parameter では原河床勾配、 $I$  及び  $z$  を除いた流量のものに流し得る流砂量、 $q_{bf}$  を(2)式におりて、 $q_{bf} = \frac{\rho_e^2 (g \cdot I_e \cdot z)^{2/3}}{S \cdot g \cdot d \cdot \rho_0}$  として求め船砂量、 $q_{B0}$  と  $q_{bf}$  の比を最も重要な parameter と考える。

### 1. 段丘流砂量

船砂量、 $q_{B0}$  のうち段丘流砂量  $q_{bf}$  が貯水池を埋め、 $(q_{B0} - q_{bf})$  が back sand を形成するから貯水池の堆砂過程においては流砂量分配、 $\frac{q_{bf}}{q_{B0}}$  が最も重要である。図-2 は  $\frac{q_{bf}}{q_{B0}}$  の実測値をそれぞれ杉尾山岡教授の資料とともにプロットしたものである。流量、原河床勾配及び粒径などがまちまちであっても、ほぼ一つの曲線のまわりに散らばる。明らかに  $\frac{q_{bf}}{q_{B0}}$  が増すとともに  $\frac{q_{bf}}{q_{B0}}$  は減少し、船砂のうち back sand の割合に消費され

表-1 実験要目							
実験番号	砂	初期水深	底面勾配	底面粒径	流量	勾配	堆高
NO. I	A	0.85	2.632	4.80	430	1	1.20 0.254~1.230
	B	0.33	2.684	4.80	42.0	372.68	5.0 0.36~2.26
NO. II	A	0.85	2.632	4.80	430	100	8.6 0.190~0.597
	B	0.33	2.684	4.80	42.0	387.0	8.6 0.268~1.430
NO. III	A	0.85	2.632	4.80	42.0	150	5.0 0.19~0.46
	B	0.33	2.684	4.80	42.0	372.6	5.0 0.23~0.75
杉尾教授							
1	0.885	2.59			102.8	1	0.035~0.948
2	0.844	2.63			84.5	100	2.5 0.037~0.576
山岡教授							
A	9.30	2.66	47.0	42.0	193.8	1	0.090~0.230
B	1.40	"			50	4.0 0.090~0.148	
C	0.46	"			326.7		0.154~0.176

図-1 段丘断面図

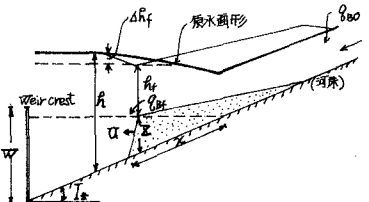
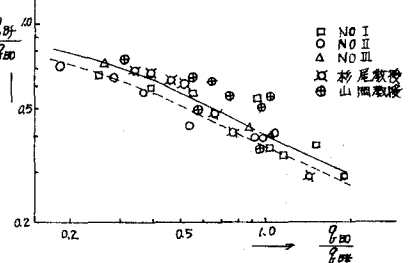


図-2  $\frac{q_{bf}}{q_{B0}}$  と  $\frac{q_{bf}}{q_{B0}}$  の関係



る砂量の割合が増加してゆくことを示している。

## 2 段丘肩の軌跡

貯水池内の原水面曲線は容易に計算せらる、実用上は水平とみなしてよい。貯水池内的一点に注目して高さ $\Delta h_f$ の段丘が近づくとともに水深 $h_f$ より低下し始め段丘の高さ $\Delta h_f$ を通過する時、原水位より $\Delta h_f$ だけ低下するものとする、運動量の定理を適用し、さらには $\Delta h_f$ が丸にくらべて小さいとして近似計算を行なうと、

$$\Delta h_f = 2 \cdot \frac{h_f^3}{h^2} \left( \frac{Z}{h-Z} \right) \quad (3)$$

が得られる。従って段丘肩水深 $h_f$ は

$$h_f = h - 8 \left( 1 + 2 \frac{h^3}{h^2} \cdot \frac{Z}{h-Z} \right) \quad (4)$$

となり、さらに $h_f$ は(1)式の近似式を用ひて次式

$$h_f = \left( \frac{25 \sqrt{Sg d^3}}{\rho_{sf}} \right)^{1/4} \frac{d}{\sqrt{Sg d^4 g}} \quad (5)$$

を満たさねばならない。貯水池のように水面が水平である場合、その水位より $(\Delta h_f + h_f)$ を差引いた段丘の軌跡も水平である。なお $h_f \approx \rho_{sf}^{-0.22}$ であるから流量を同一にして総砂量を大きく増加しても crest の軌跡の低下量は僅かである。

## 3 段丘前进速度

段丘発生点のごく近傍を除くと段丘肩の軌跡は水平とみなされるとから、原河床勾配 $I_{sf}$ を用いて、 $Z = Z \cdot I_{sf}$ とおける。

従って段丘位置 $Z$ と時間 $t$ との関係及び段丘前进速度は、

$$Z = \sqrt{\frac{2 \rho_{sf} \cdot t}{I_{sf}(1-\lambda)}} \quad (6)$$

$$U = \sqrt{\frac{\rho_{sf}}{\rho_{so}}} \cdot \sqrt{\frac{\rho_{so}}{2 \cdot I_{sf}(1-\lambda)t}}$$

となり、段丘の前进速度は $t^{1/2}$ に比例する。図-3にこの関係の一例を示した。又図-4に $\frac{U \cdot t^{1/2}}{\sqrt{\frac{\rho_{so}}{2 \cdot I_{sf}(1-\lambda)t}}} = \sqrt{\frac{\rho_{so}}{\rho_{sf}}}$ の値を $\frac{\rho_{so}}{\rho_{sf}}$ の関数として表わしている。図中の実線は図-2の平均曲線(実線)から計算したもので極めて簡単な取扱いが妥当であることを示している。

## 4. 堆砂面勾配

段丘肩における流砂量は $\rho_{sf}$ 、堆砂面未端における流砂量 $\frac{1}{2}(\rho_{sf} + \rho_{so})$ の流砂量は $\rho_{so}$ であるから平均的には堆砂面上には $\frac{1}{2}(\rho_{sf} + \rho_{so})$ の流砂量があるとみなされる。従って(1)式及び $I_{sf}$ の形に流し得る流砂量 $\rho_{sf}$ を導入して

$$\frac{1}{2}(\rho_{sf} + \rho_{so}) = 25 \sqrt{Sg d^3} \left[ \frac{45}{8} \left( \frac{g \cdot I_{sf}}{Sg \cdot d^2} \right)^{1/3} \right]^{2/3} = \rho_{sf} \left( \frac{I_{sf}}{I_{so}} \right)^{1/3}$$

より $\frac{I_{sf}}{I_{so}} = \left[ \frac{1}{2} \frac{\rho_{so}}{\rho_{sf}} \left( 1 + \frac{\rho_{so}}{\rho_{sf}} \right) \right]^{1/3}$  (7)

となり $\frac{I_{sf}}{I_{so}}$ は $\frac{\rho_{so}}{\rho_{sf}}$ の関数となる。段丘が堰に到達した時の

堆砂面勾配 $I_{sf}$ を用いてこの関係を図-5に示した。砂防工学では満砂後の河床勾配として原河床の $\frac{1}{2}$ にとるとゆう便宜的な方法が用いられるが、 $\frac{1}{2}$ はほんの平均値に相当し実際には $\frac{\rho_{so}}{\rho_{sf}}$ が増す程 $\frac{I_{sf}}{I_{so}}$ は増加する。

図-3  $U$  と  $t$  の関係

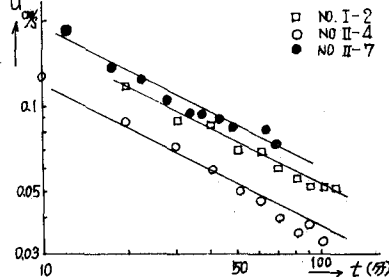


図-4  $\frac{U \cdot t^{1/2}}{\sqrt{\frac{\rho_{so}}{2 \cdot I_{sf}(1-\lambda)t}}} = \sqrt{\frac{\rho_{so}}{\rho_{sf}}}$  と  $\frac{\rho_{so}}{\rho_{sf}}$  の関係

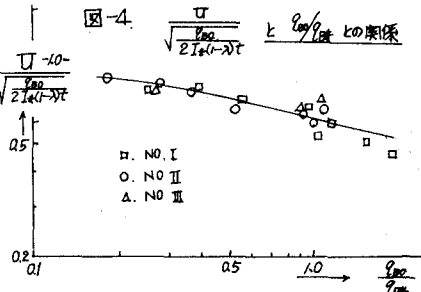


図-5  $\frac{I_{sf}}{I_{so}}$  と  $\frac{\rho_{so}}{\rho_{sf}}$  の関係

